



*Национальный исследовательский университет ИТМО
(Университет ИТМО)*

Факультет систем управления и робототехники

Дисциплина: Теория автоматического управления
Отчет по лабораторной работе №2.
«Канонические формы представления динамических систем»
Вариант 20

Студент:
Евстигнеев Д.М.
Группа: *R33423*
Преподаватель:
Парамонов А.В.

Санкт-Петербург
2021

Цель.

Ознакомление с методами взаимного перехода между моделями вход-выход и вход-состояние-выход, а также с каноническими формами представления моделей вход-состояние-выход.

Данные.

20	$\begin{bmatrix} 1 & 2 \\ -7 & -9 \end{bmatrix}$	$\begin{bmatrix} 0 \\ 1 \end{bmatrix}$	$\begin{bmatrix} 5 \\ 1 \end{bmatrix}$
----	--	--	--

Вариант	17	18	19	20
m_{11}	3	1	1,5	7
m_{22}	1	2	0	0
m_{12}	0	0	1	2
m_{21}	2	3	9	2,5

№	a_1	a_2	a_3	b_0	b_1	b_2
20	3	1	7	7	9	9

Коэффициенты: $a_1=3$ $a_2=1$ $a_3=7$ $b_0=7$ $b_1=9$ $b_2=9$

Линейная модель вход-выход одноканальной стационарной динамической системы, представленная обыкновенным дифференциальным уравнением

вида: $\ddot{y} + 3\dot{y} + 1y = 7\ddot{u} + 9\dot{u} + 9u$

Каноническая управляемая форма:

$$\begin{bmatrix} \dot{x}_1 \\ \dot{x}_2 \\ \dot{x}_3 \end{bmatrix} = \begin{bmatrix} 0 & 1 & -3 \\ 1 & 0 & -1 \\ 0 & 0 & -7 \end{bmatrix} \begin{bmatrix} x_1 \\ x_2 \\ x_3 \end{bmatrix} + \begin{bmatrix} 7 \\ 9 \\ 9 \end{bmatrix} u$$

$$y = \begin{bmatrix} 0 & 0 & 1 \end{bmatrix} \begin{bmatrix} x_1 \\ x_2 \\ x_3 \end{bmatrix}$$

Каноническая наблюдаемая форма:

$$\begin{bmatrix} \dot{x}_1 \\ \dot{x}_2 \\ \dot{x}_3 \end{bmatrix} = \begin{bmatrix} 0 & 1 & 0 \\ 0 & 0 & 1 \\ -3 & -1 & -7 \end{bmatrix} \begin{bmatrix} x_1 \\ x_2 \\ x_3 \end{bmatrix} + \begin{bmatrix} 0 \\ 0 \\ 1 \end{bmatrix} u$$

$$y = \begin{bmatrix} 7 & 9 & 9 \end{bmatrix} \begin{bmatrix} x_1 \\ x_2 \\ x_3 \end{bmatrix}$$

Передаточная функция: $W(p) = \frac{7p^2 + 9p + 9}{p^3 + 3p^2 + 1p + 7}$

Матрица J в Жордановой нормальной форме: $J = \begin{bmatrix} 1 & 0 & 0 \\ 0 & -7 & 0 \\ 0 & 0 & -1 \end{bmatrix}$

Матрица V имеет вид: $V = \begin{bmatrix} \frac{1}{2} & \frac{1}{2} & -\frac{1}{4} \\ 0 & 0 & 1 \\ -\frac{1}{2} & \frac{1}{2} & \frac{1}{6} \end{bmatrix}$

Вычислим матрицы \hat{B} и \hat{C} :

$$\hat{B} = V^{-1}B = \begin{bmatrix} \frac{1}{2} & \frac{1}{2} & -\frac{1}{4} \\ 0 & 0 & 1 \\ -\frac{1}{2} & \frac{1}{2} & \frac{1}{6} \end{bmatrix} \begin{bmatrix} 0 \\ 0 \\ 1 \end{bmatrix} = \begin{bmatrix} -\frac{1}{4} \\ 1 \\ \frac{1}{6} \end{bmatrix}$$

$$\hat{C} = CV =$$

$$\begin{bmatrix} 7 & 9 & 9 \end{bmatrix} \begin{bmatrix} \frac{1}{2} & \frac{1}{2} & -\frac{1}{4} \\ 0 & 0 & 1 \\ -\frac{1}{2} & \frac{1}{2} & \frac{1}{6} \end{bmatrix} = \begin{bmatrix} -1 & 8 & \frac{35}{4} \end{bmatrix}$$

Жорданова форма для данной системы имеет следующий вид:

$$\begin{bmatrix} \dot{x}_1 \\ \dot{x}_2 \\ \dot{x}_3 \end{bmatrix} = \begin{bmatrix} 1 & 0 & 0 \\ 0 & -7 & 0 \\ 0 & 0 & -1 \end{bmatrix} \begin{bmatrix} x_1 \\ x_2 \\ x_3 \end{bmatrix} + \begin{bmatrix} -\frac{1}{4} \\ 1 \\ \frac{1}{6} \end{bmatrix} u$$

$$y = \begin{bmatrix} -1 & 8 & \frac{35}{4} \end{bmatrix} \begin{bmatrix} x_1 \\ x_2 \\ x_3 \end{bmatrix}$$

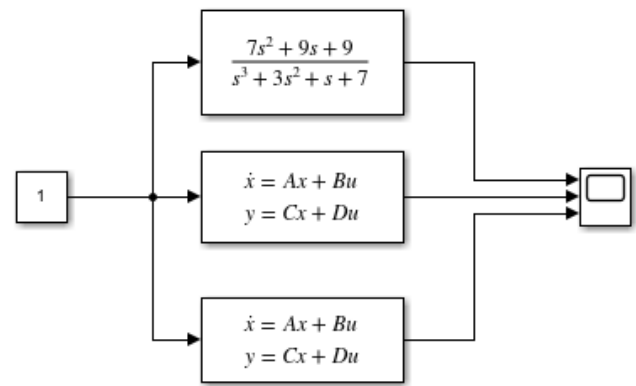


рис. 1. Модель симуляции

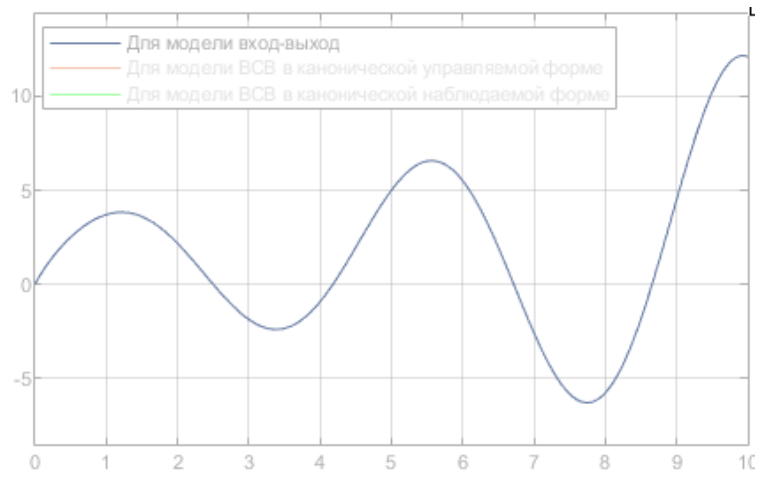


рис. 2. Снятые показания симуляции

2. Переход от модели вход-состояние-выход к модели вход-выход

$$A = \begin{pmatrix} 1 & 2 \\ -7 & -9 \end{pmatrix} \quad B = \begin{pmatrix} 0 \\ 1 \end{pmatrix} \quad C = \begin{pmatrix} 5 & 1 \end{pmatrix}$$

$$\begin{cases} \dot{x} = Ax + Bu \\ y = Cx \end{cases}$$

$$\begin{cases} \dot{x}_1 = x_1 + 2x_2 \\ \dot{x}_2 = -7x_1 - 9x_2 + u_1 \\ y_1 = 5x_1 + x_2 \end{cases}$$

Переход к модели вход-выход через передаточную функцию:

$$W(p) = C(pI - A)^{-1}B$$

$$W(p) = \begin{bmatrix} 5 & 1 \end{bmatrix} \left[\begin{bmatrix} p & 0 \\ 0 & p \end{bmatrix} - \begin{bmatrix} 1 & 2 \\ -7 & -9 \end{bmatrix} \right]^{-1} \begin{bmatrix} 0 \\ 1 \end{bmatrix} =$$

$$= \begin{bmatrix} 10 & 1 \end{bmatrix} \begin{bmatrix} \frac{p+9}{p^2+9p+14} & \frac{-14}{-7p^2-63p-98} \\ \frac{7}{-p^2-9p-14} & \frac{p}{p^2+9p+14} \end{bmatrix} \begin{bmatrix} 0 \\ 1 \end{bmatrix}$$

$$= -\frac{140}{-98 - 63p - 7p^2} + \frac{p}{14 + 9p + p^2} = \frac{20 + p}{p^2 + 9p + 14}$$

Модель в форме вход-выход:

$$\ddot{y} + 9\dot{y} + 14y = 1\dot{u} + 20u$$

Каноническая управляемая форма:

$$\begin{bmatrix} \dot{x}_1 \\ \dot{x}_2 \end{bmatrix} = \begin{bmatrix} 0 & 1 \\ -14 & -9 \end{bmatrix} \begin{bmatrix} x_1 \\ x_2 \end{bmatrix} + \begin{bmatrix} 0 \\ 1 \end{bmatrix} u$$

$$y = \begin{bmatrix} 1 & 20 \end{bmatrix} \begin{bmatrix} x_1 \\ x_2 \end{bmatrix}$$

Каноническая наблюдаемая форма:

$$\begin{bmatrix} \dot{x}_1 \\ \dot{x}_2 \end{bmatrix} = \begin{bmatrix} 0 & -14 \\ 1 & -9 \end{bmatrix} \begin{bmatrix} x_1 \\ x_2 \end{bmatrix} + \begin{bmatrix} 1 \\ 20 \end{bmatrix} u$$

$$y = \begin{bmatrix} 0 & 1 \end{bmatrix} \begin{bmatrix} x_1 \\ x_2 \end{bmatrix}$$

Расчет передаточной матрицы многоканальной системы:

20	0	-7	3	7	4	6
	1	-9	1	4	7	1

$$A = \begin{pmatrix} 0 & -7 \\ 1 & -9 \end{pmatrix} B = \begin{pmatrix} 3 & 7 \\ 1 & 4 \end{pmatrix}$$

$$C = \begin{pmatrix} 4 & 7 \\ 6 & 1 \end{pmatrix}$$

$$W(p) = C(pI - A)^{-1}B$$

$$W(p) = \begin{bmatrix} 4 & 7 \\ 6 & 1 \end{bmatrix} \left[\begin{bmatrix} p & 0 \\ 0 & p \end{bmatrix} - \begin{bmatrix} 0 & -7 \\ 1 & -9 \end{bmatrix} \right]^{-1} \begin{bmatrix} 3 & 7 \\ 1 & 4 \end{bmatrix} =$$

$$= \begin{bmatrix} 4 & 7 \\ 6 & 1 \end{bmatrix} \begin{bmatrix} \frac{p+9}{p^2+9p+7} & \frac{-7}{p^2+9p+7} \\ \frac{-1}{-(p^2+9p+7)} & \frac{p}{p^2+9p+7} \end{bmatrix} \begin{bmatrix} 3 & 7 \\ 1 & 4 \end{bmatrix} =$$

$$= \begin{bmatrix} \frac{19p+101}{p^2+9p+7} & \frac{-7(-8-27)}{p^2+9p+7} \\ \frac{19p+123}{p^2+9p+7} & \frac{46p+217}{p^2+9p+7} \end{bmatrix}$$

Расчет матриц преобразования исходной модели к каноническим формам:

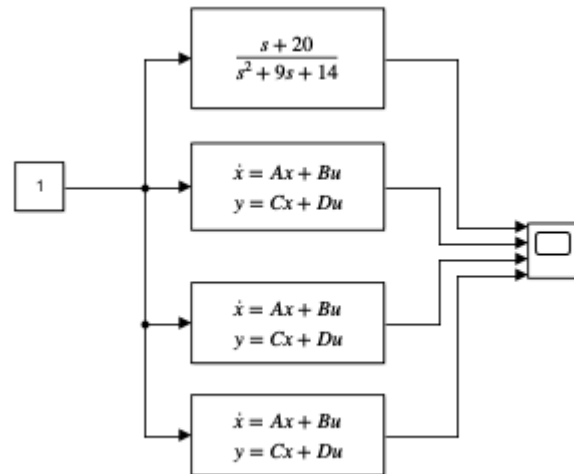


рис. 3. Модель симуляции

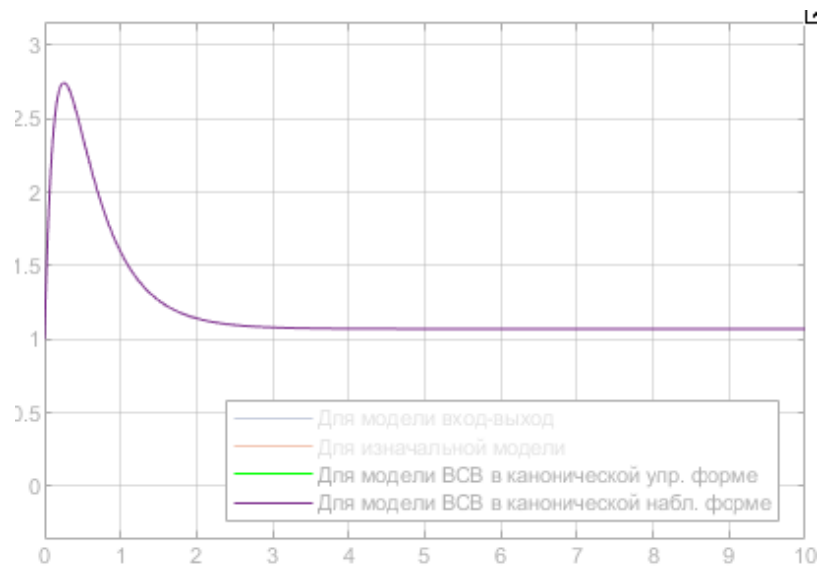


рис. 4. Снятые показания

$$N_y = B : AB = \begin{bmatrix} 0 \\ 1 \end{bmatrix} : \begin{bmatrix} 1 & 2 \\ -7 & -9 \end{bmatrix} \begin{bmatrix} 0 \\ 1 \end{bmatrix} = \begin{bmatrix} 0 & 2 \\ 1 & -9 \end{bmatrix}$$

$$\hat{N}_y = \hat{B} : \hat{A}\hat{B} = \begin{bmatrix} 0 \\ 1 \end{bmatrix} : \begin{bmatrix} 0 & 1 \\ -14 & -9 \end{bmatrix} \begin{bmatrix} 0 \\ 1 \end{bmatrix} = \begin{bmatrix} 0 & 1 \\ 1 & -9 \end{bmatrix}$$

$M = N_y \times \hat{N}_y^{-1}$ -матрица преобразованная в каноническую управляемую.

$$M = \begin{bmatrix} 0 & 2 \\ 1 & -9 \end{bmatrix} \begin{bmatrix} 0 & 1 \\ 1 & -9 \end{bmatrix}^{-1} = \begin{bmatrix} 0 & 2 \\ 1 & -9 \end{bmatrix} \begin{bmatrix} 9 & 1 \\ 1 & 0 \end{bmatrix} = \begin{bmatrix} 2 & 0 \\ 0 & 1 \end{bmatrix}$$

$M = N_N^{-1} \times \widetilde{N}_N$ -матрица преобразованная в каноническую наблюдаемую.

$$N_N = \begin{bmatrix} C \\ CA \end{bmatrix} = \begin{bmatrix} 5 & 1 \\ 14 & 17 \end{bmatrix} \quad \widetilde{N}_N = \begin{bmatrix} \tilde{C} \\ \tilde{C}\tilde{A} \end{bmatrix} = \begin{bmatrix} 0 & 1 \\ 1 & -2 \end{bmatrix}$$

$$M = \begin{bmatrix} 5 & 1 \\ 14 & 17 \end{bmatrix}^{-1} \begin{bmatrix} 0 & 1 \\ 1 & -2 \end{bmatrix} = \begin{bmatrix} \frac{17}{71} & \frac{-1}{71} \\ \frac{-14}{71} & \frac{5}{71} \end{bmatrix} \begin{bmatrix} 0 & 1 \\ 1 & -2 \end{bmatrix} = \begin{bmatrix} \frac{-1}{71} & \frac{19}{71} \\ \frac{5}{71} & \frac{-24}{71} \end{bmatrix}$$

3. Замена базиса в пространстве состояний

Матрица преобразования

координат: $M = \begin{bmatrix} 7 & 0 \\ 2 & 2.5 \end{bmatrix}$

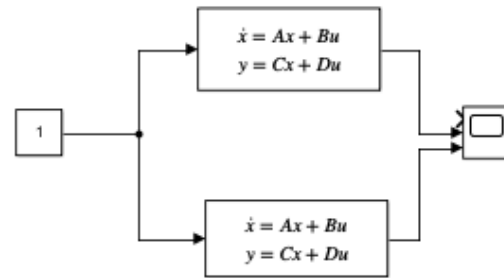


рис. 5. Модель симуляции

$$\hat{A} = M^{-1}AM = \begin{bmatrix} \frac{1}{7} & 0 \\ 4 & 2 \\ -\frac{35}{5} & \frac{2}{5} \end{bmatrix} \begin{bmatrix} 1 & 2 \\ -7 & -9 \end{bmatrix} \begin{bmatrix} 7 & 0 \\ 2 & 2.5 \end{bmatrix} = \begin{bmatrix} \frac{11}{7} & \frac{5}{7} \\ \frac{982}{35} & -\frac{67}{7} \end{bmatrix}$$

$$\begin{aligned} \hat{B} = M^{-1}B &= \begin{bmatrix} \frac{1}{7} & 0 \\ 4 & 2 \\ -\frac{35}{5} & \frac{2}{5} \end{bmatrix} \begin{bmatrix} 0 \\ 1 \end{bmatrix} \\ &= \begin{bmatrix} 0 \\ 2 \\ \frac{2}{5} \end{bmatrix} \end{aligned}$$

$$\begin{aligned} \hat{C} = CM &= \begin{bmatrix} 5 & 1 \end{bmatrix} \begin{bmatrix} 7 & 0 \\ 2 & 2.5 \end{bmatrix} \\ &= \begin{bmatrix} 37 & 2.5 \end{bmatrix} \end{aligned}$$

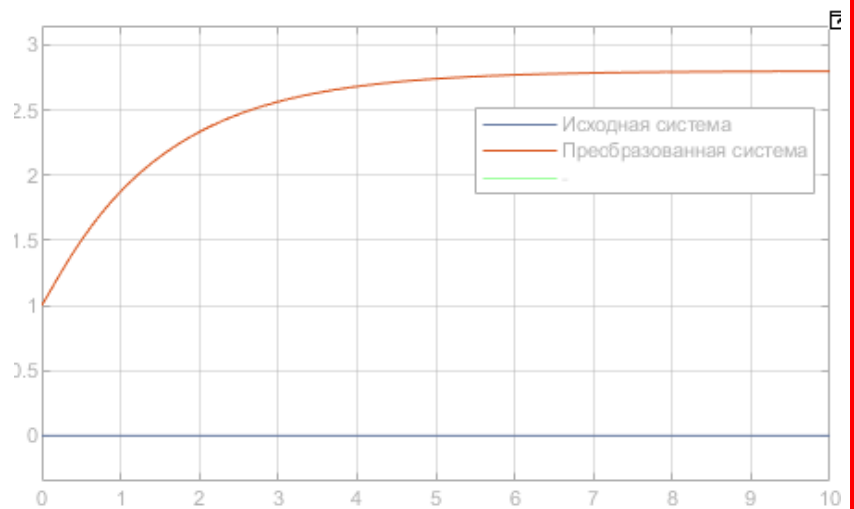


рис. 6. Графики нач. и преобр. системы

Вывод: В данной работе мы познакомились с методами взаимного перехода между моделями вход-выход и вход-состояние-выход, а также с каноническими формами представления моделей вход-состояние-выход. Наглядно продемонстрировали возможность перехода между моделями ВВ и ВСВ динамических систем. Также были получены дополнительные навыки работы с пакетом Simulink.